

Starkniederschlagshöhen und -spenden gemäß KOSTRA-DWD-2020

Rasterfeld 95179

(Zeile 95, Spalte 179)

Regenspende und Bemessungsniederschlagswerte in Abhängigkeit von Wiederkehrzeit T und Dauerstufe D

| Dauerstufe D | | Wiederkehrzeit T | | | | | | | | | | | | | | | | | |
|--------------|-----|------------------|------------|------|------------|------|------------|------|------------|------|------------|-------|------------|-------|------------|-------|------------|-------|------------|
| | | 1 a | | 2 a | | 3 a | | 5 a | | 10 a | | 20 a | | 30 a | | 50 a | | 100 a | |
| min | Std | mm | l / (s ha) | mm | l / (s ha) | mm | l / (s ha) | mm | l / (s ha) | mm | l / (s ha) | mm | l / (s ha) | mm | l / (s ha) | mm | l / (s ha) | mm | l / (s ha) |
| 5 | | 6,6 | 220,0 | 8,4 | 280,0 | 9,6 | 320,0 | 11,0 | 366,7 | 13,2 | 440,0 | 15,4 | 513,3 | 16,9 | 563,3 | 18,8 | 626,7 | 21,5 | 716,7 |
| 10 | | 8,5 | 141,7 | 10,9 | 181,7 | 12,3 | 205,0 | 14,3 | 238,3 | 17,0 | 283,3 | 19,9 | 331,7 | 21,8 | 363,3 | 24,2 | 403,3 | 27,7 | 461,7 |
| 15 | | 9,7 | 107,8 | 12,4 | 137,8 | 14,0 | 155,6 | 16,2 | 180,0 | 19,4 | 215,6 | 22,6 | 251,1 | 24,7 | 274,4 | 27,5 | 305,6 | 31,5 | 350,0 |
| 20 | | 10,5 | 87,5 | 13,4 | 111,7 | 15,3 | 127,5 | 17,6 | 146,7 | 21,1 | 175,8 | 24,6 | 205,0 | 26,9 | 224,2 | 29,9 | 249,2 | 34,3 | 285,8 |
| 30 | | 11,8 | 65,6 | 15,0 | 83,3 | 17,1 | 95,0 | 19,7 | 109,4 | 23,6 | 131,1 | 27,5 | 152,8 | 30,1 | 167,2 | 33,5 | 186,1 | 38,4 | 213,3 |
| 45 | | 13,1 | 48,5 | 16,7 | 61,9 | 19,0 | 70,4 | 22,0 | 81,5 | 26,2 | 97,0 | 30,6 | 113,3 | 33,5 | 124,1 | 37,3 | 138,1 | 42,7 | 158,1 |
| 60 | 1 | 14,1 | 39,2 | 18,0 | 50,0 | 20,4 | 56,7 | 23,6 | 65,6 | 28,2 | 78,3 | 33,0 | 91,7 | 36,1 | 100,3 | 40,1 | 111,4 | 46,0 | 127,8 |
| 90 | 1,5 | 15,6 | 28,9 | 19,9 | 36,9 | 22,6 | 41,9 | 26,2 | 48,5 | 31,2 | 57,8 | 36,5 | 67,6 | 39,9 | 73,9 | 44,4 | 82,2 | 50,8 | 94,1 |
| 120 | 2 | 16,7 | 23,2 | 21,4 | 29,7 | 24,3 | 33,8 | 28,1 | 39,0 | 33,5 | 46,5 | 39,1 | 54,3 | 42,8 | 59,4 | 47,6 | 66,1 | 54,6 | 75,8 |
| 180 | 3 | 18,5 | 17,1 | 23,6 | 21,9 | 26,8 | 24,8 | 30,9 | 28,6 | 37,0 | 34,3 | 43,2 | 40,0 | 47,2 | 43,7 | 52,5 | 48,6 | 60,2 | 55,7 |
| 240 | 4 | 19,8 | 13,8 | 25,3 | 17,6 | 28,7 | 19,9 | 33,2 | 23,1 | 39,6 | 27,5 | 46,2 | 32,1 | 50,6 | 35,1 | 56,3 | 39,1 | 64,5 | 44,8 |
| 360 | 6 | 21,8 | 10,1 | 27,8 | 12,9 | 31,6 | 14,6 | 36,5 | 16,9 | 43,6 | 20,2 | 50,9 | 23,6 | 55,7 | 25,8 | 62,0 | 28,7 | 71,0 | 32,9 |
| 540 | 9 | 24,0 | 7,4 | 30,6 | 9,4 | 34,8 | 10,7 | 40,2 | 12,4 | 48,0 | 14,8 | 56,0 | 17,3 | 61,3 | 18,9 | 68,2 | 21,0 | 78,1 | 24,1 |
| 720 | 12 | 25,7 | 5,9 | 32,8 | 7,6 | 37,2 | 8,6 | 43,0 | 10,0 | 51,4 | 11,9 | 60,0 | 13,9 | 65,6 | 15,2 | 73,0 | 16,9 | 83,6 | 19,4 |
| 1080 | 18 | 28,2 | 4,4 | 36,1 | 5,6 | 40,9 | 6,3 | 47,3 | 7,3 | 56,5 | 8,7 | 66,0 | 10,2 | 72,2 | 11,1 | 80,3 | 12,4 | 92,0 | 14,2 |
| 1440 | 24 | 30,2 | 3,5 | 38,6 | 4,5 | 43,8 | 5,1 | 50,6 | 5,9 | 60,4 | 7,0 | 70,6 | 8,2 | 77,2 | 8,9 | 85,9 | 9,9 | 98,4 | 11,4 |
| 2880 | 48 | 35,5 | 2,1 | 45,4 | 2,6 | 51,5 | 3,0 | 59,5 | 3,4 | 71,1 | 4,1 | 83,0 | 4,8 | 90,9 | 5,3 | 101,1 | 5,9 | 115,8 | 6,7 |
| 4320 | 72 | 39,1 | 1,5 | 49,9 | 1,9 | 56,6 | 2,2 | 65,5 | 2,5 | 78,2 | 3,0 | 91,3 | 3,5 | 99,9 | 3,9 | 111,2 | 4,3 | 127,3 | 4,9 |
| 5760 | 96 | 41,8 | 1,2 | 53,4 | 1,5 | 60,6 | 1,8 | 70,0 | 2,0 | 83,6 | 2,4 | 97,7 | 2,8 | 106,9 | 3,1 | 118,9 | 3,4 | 136,2 | 3,9 |
| 7200 | 120 | 44,0 | 1,0 | 56,3 | 1,3 | 63,8 | 1,5 | 73,8 | 1,7 | 88,1 | 2,0 | 102,9 | 2,4 | 112,6 | 2,6 | 125,3 | 2,9 | 143,5 | 3,3 |
| 8640 | 144 | 45,9 | 0,9 | 58,7 | 1,1 | 66,6 | 1,3 | 77,0 | 1,5 | 92,0 | 1,8 | 107,4 | 2,1 | 117,5 | 2,3 | 130,7 | 2,5 | 149,7 | 2,9 |
| 10080 | 168 | 47,6 | 0,8 | 60,9 | 1,0 | 69,1 | 1,1 | 79,8 | 1,3 | 95,3 | 1,6 | 111,3 | 1,8 | 121,8 | 2,0 | 135,5 | 2,2 | 155,2 | 2,6 |

Starkniederschlagshöhen und -spenden gemäß KOSTRA-DWD-2020

Rasterfeld 95179

(Zeile 95, Spalte 179)

Örtliche Unsicherheiten in Abhängigkeit von Wiederkehrzeit T und Dauerstufe D

| Dauerstufe D | | Wiederkehrzeit T | | | | | | | | |
|--------------|-----|------------------|-----|-----|-----|------|------|------|------|-------|
| | | 1 a | 2 a | 3 a | 5 a | 10 a | 20 a | 30 a | 50 a | 100 a |
| min | Std | ± % | ± % | ± % | ± % | ± % | ± % | ± % | ± % | ± % |
| 5 | | 13 | 12 | 12 | 12 | 13 | 13 | 14 | 14 | 14 |
| 10 | | 12 | 14 | 14 | 15 | 17 | 17 | 18 | 18 | 19 |
| 15 | | 14 | 16 | 17 | 18 | 19 | 20 | 21 | 21 | 22 |
| 20 | | 15 | 17 | 18 | 19 | 20 | 21 | 22 | 22 | 23 |
| 30 | | 16 | 18 | 19 | 20 | 22 | 23 | 23 | 24 | 25 |
| 45 | | 16 | 19 | 20 | 21 | 22 | 24 | 24 | 25 | 25 |
| 60 | 1 | 16 | 19 | 20 | 21 | 23 | 24 | 24 | 25 | 25 |
| 90 | 1,5 | 16 | 18 | 20 | 21 | 22 | 23 | 24 | 25 | 25 |
| 120 | 2 | 15 | 18 | 19 | 20 | 22 | 23 | 23 | 24 | 25 |
| 180 | 3 | 14 | 17 | 18 | 20 | 21 | 22 | 23 | 23 | 24 |
| 240 | 4 | 14 | 16 | 18 | 19 | 20 | 21 | 22 | 23 | 23 |
| 360 | 6 | 13 | 15 | 17 | 18 | 19 | 20 | 21 | 21 | 22 |
| 540 | 9 | 12 | 15 | 16 | 17 | 18 | 19 | 20 | 20 | 21 |
| 720 | 12 | 12 | 14 | 15 | 16 | 17 | 18 | 19 | 20 | 20 |
| 1080 | 18 | 12 | 13 | 14 | 15 | 17 | 17 | 18 | 19 | 19 |
| 1440 | 24 | 12 | 13 | 14 | 15 | 16 | 17 | 17 | 18 | 19 |
| 2880 | 48 | 12 | 13 | 13 | 14 | 15 | 16 | 16 | 17 | 17 |
| 4320 | 72 | 13 | 13 | 14 | 14 | 15 | 16 | 16 | 16 | 17 |
| 5760 | 96 | 14 | 14 | 14 | 14 | 15 | 16 | 16 | 16 | 17 |
| 7200 | 120 | 14 | 14 | 14 | 15 | 15 | 16 | 16 | 16 | 17 |
| 8640 | 144 | 15 | 15 | 15 | 15 | 15 | 16 | 16 | 16 | 17 |
| 10080 | 168 | 15 | 15 | 15 | 15 | 15 | 16 | 16 | 16 | 17 |

Parameter für abweichende T und D

Lokationsparameter ξ (Xi)

14,37798112

Skalenparameter α (Alpha)

5,55467378

Formparameter κ (Kappa)

-0,1

1. Koutsoyiannis-Parameter θ (Theta)

0,02455909

2. Koutsoyiannis-Parameter η (Eta)

0,76608479

Parameter für dauerstufenübergreifende Extremwertschätzung nach KOUTSOYIANNIS et al. 1998.

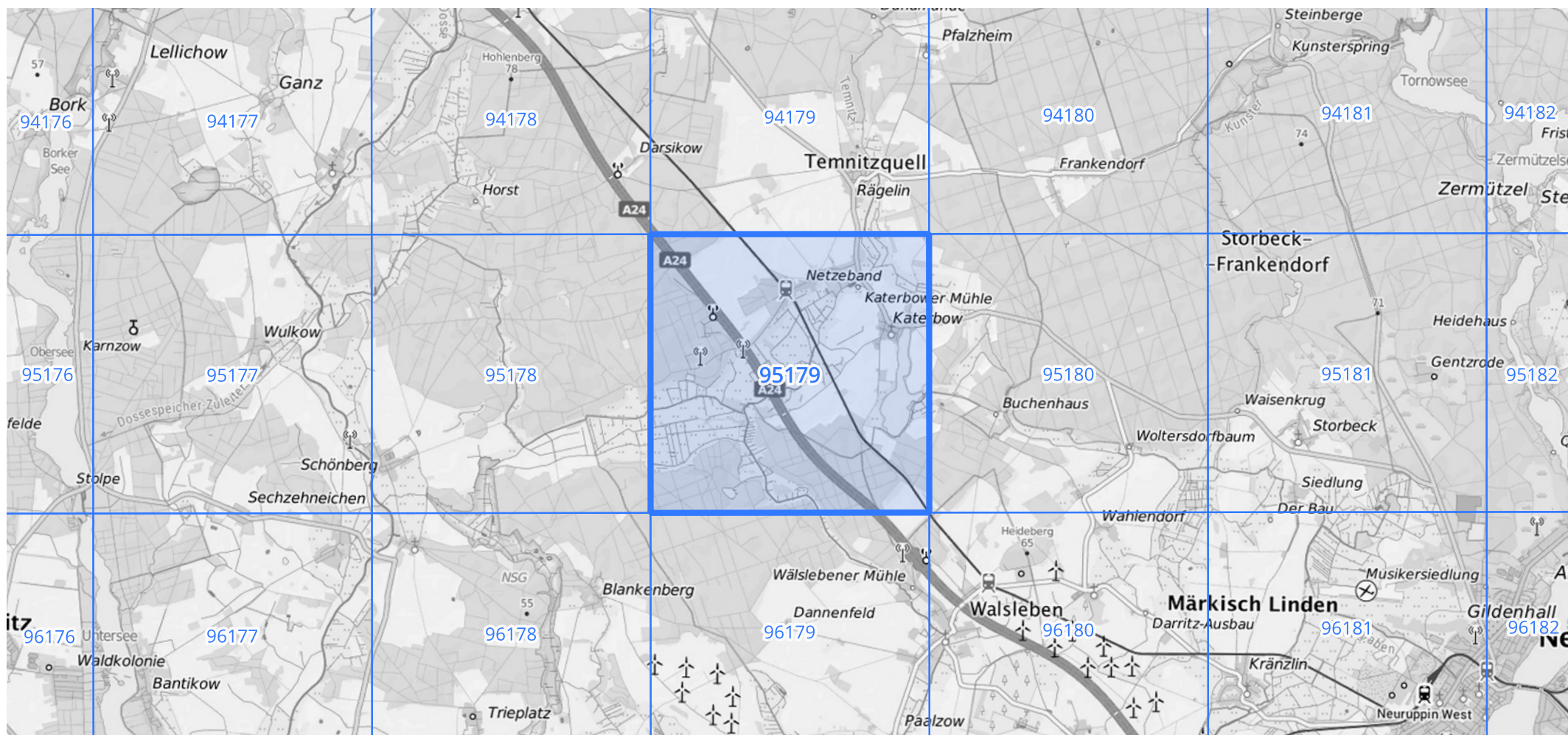
Siehe auch Anwendungshilfe zu KOSTRA-DWD-2020 des Deutschen Wetterdienstes.

Starkniederschlagshöhen und -spenden gemäß KOSTRA-DWD-2020

Rasterfeld 95179

(Zeile 95, Spalte 179)

Übersichtskarte des Rasterfeldes 95179, M 1 : 100 000



Quelle Rasterdaten: KOSTRA-DWD-2020 des Deutschen Wetterdienstes, Stand 12/2022.

Seite 3 von 3

Kartendarstellung: © Bundesamt für Kartographie und Geodäsie (2023), Datenquellen: https://sgx.geodatenzentrum.de/web_public/gdz/datenquellen/Datenquellen_TopPlusOpen.html

Für die Richtigkeit und Aktualität der Angaben wird keine Gewähr übernommen. Erstellt 01/2023.